

鋒的化學文摘

第三輯

天津市工業試驗所

鎘的化学文摘
第三輯

編輯者：天津市工業試驗所

出版者：中國科學技術情報研究所

北京朝內大街117號

印刷者：天津市第一印刷廠

總發行處：新華書店北京發行所

經售處：全國各地新華書店

定價4.70元

序 言

天津市工业試驗所仇鐵雋、吳賽文、李慧真、史敬孚、劉健慈、陳忠芳等同志將美國化
文書上所刊載的从1911年到1960年五十年來有关鎳的提取、冶炼、基本性能等文摘全部譯出，
并加以分类成十部份：

1. 鎳的地球化学
2. 鎳的分析化学
3. 鎳的有机化学
4. 鎳的生物化学
5. 鎳的无机化学及工艺
6. 鎳的基本化学与物理化学
7. 鎳的浸蝕
8. 鎳的放射化学
9. 鎳的电子現象理論与应用（包括区域熔炼与单晶的制备）
10. 杂项

这是一本极有价值专题系統的文摘。本所拟分成三輯出版，第一輯包括前四部份，第二輯
包括5、6、7三部份，第三輯包括8、9、10三部份。同时用卡片形式发行。

中国科学技术情报研究所

1963年5月

鍶 的 化 学 文 摘

第 三 輯

目 录

八、鍶的放射化学	(1)
九、鍶的电子現象理論与应用（包括区域熔炼与单晶的制备）	(48)
十、杂項	(311)

八、鍺的放射化学

0001

以中子轰击所產生的若干較稀有的元素的放射性 (Radioactivity of some rarer elements produced by neutron bombardment) - Sugden S.; Nature, 1935, 135, 469 (英文) Chemical Abstracts, 29, 3594

用 Ra—Be 中子轰击若干元素后，这些元素因輻射而感生的半衰期与相对强度（每克原子）为：Ag, 2.33分, 1; I, 25分, 0.7; Eu, 9.2 ± 0.1 小时, 19; Tb, 3.9 ± 0.1 小时, 0.5; Er, 2.9 ± 0.1 小时, 3; Yb (含Lu), 2.5小时, 0.6; Ge, 約2小时, 0.1。不含Eu与Tb的 Gd_2O_3 , 沒有可察觉到的放射性 (參閱 Fermi, D'Agostino, Amaldi, Pontecorvo and Segré; La Ricerca Scientifica, 1935, 1)。Er亦能給出弱放射性，其半衰期約为30小时，但是著者认为这可能是由于在 Er 中存在有杂质而造成的。Sc不能給出可察觉到的放射性 (參閱 Hevesy, Chemical Abstracts 29, 2439⁸)

(吳賽文譯 仇鈐儒校)

0002

人工放射性砷的研究 (Investigations upon artificial radioactive arsenic) - Harteck P., Knauer P., Schaeffer W.; Zeitschrift für Physik, 1938, 109, 153—61 (德文) Chemical Abstracts, 32, 6543

著者将放射性砷沉积于一片薄的鋁箔上，并借助于一自動的并維持約700高斯的磁場的威尔逊室 (Wilson Chamber) 对它进行了研究。所觀察到的反应是 $^{75}\text{As}^{76} \rightarrow e^- + ^{75}\text{Se}^{76}$ 。由径迹的速率測量了发射的β射線譜的能量分布。根据 Uhlenbeck 和 Kornipinski 两氏 (Chemical Abstracts 29, 6833⁷) 的工作，从1750条径迹中，发现了β射線譜可分为两个部分。这两个部分的边界能量分别为 3.16 ± 0.10 和 1.10 ± 0.20 兆电子伏。由于β射線譜伴随着具有能量为2.16兆电子伏的γ辐射，故其較低的能量边界的提高是可能的。γ辐射会促使瞬时电子对的形成。著者也觀察到正电子，但通过体視鏡的觀察，說明这些正电子是单个的粒子而不是电子对的成

員，因此，建議放出电子的反应是 $^{75}\text{As}^{76} \rightarrow ^{75}\text{Ge}^{76} + e^+$ 。在誤差范围之内，其半衰期与β衰变的半衰期是一样的。最后他們建立了 $^{75}\text{Se}^{76}$ 的項簡圖，还討論了自旋問題。 (李慧貞譯 仇鈐儒校)

0003

放射性砷的同位素 (Radioactive arsenic isotopes) - Sagane R., Kojima S., Ikawa M.; The Physical Review, 1938, 54, 149—50 (英文) Chemical Abstracts, 32, 7816

以5.5兆电子伏的氘核激活了的鍺，其放射性具1711到50日的半衰期。半衰期为17日的放射性鍺是由 $\text{Ge}^{73} + \text{D}^2 \rightarrow \text{As}^{74} + n^1$ 反应的結果。As⁷⁴ 发射正电子与负电子，裏变分支比 (負/正) = 0.9。半衰期为50日的放射性鍺是由 $\text{Ge}^{76} + \text{D}^2 \rightarrow \text{As}^{77} + n^1$ 反应的結果。該同位素发射出能完全为0.00道 AI 所吸收的很弱的β-射線。

(吳賽文譯 仇鈐儒校)

0004

銅、鋅、鎳与鍺的放射性同位素 (Radioactive isotopes of copper, zinc, gallium and germanium) - Sagane R.; The physical Review, 1937, 52, 212 (英文) Chemical Abstracts, 33, 5277

本篇論文系在美国物理學会上宣讀的論文，用摘要的形式发表。 (吳賽文譯 仇鈐儒校)

0005

銅、鋅、鎳与鍺的放射性同位素 (Radioactive isotopes of copper, zinc, gallium and germanium) - Sagane R.; The Physical Review, 1939, 55, 31—8; 參閱 Chemical Abstracts, 33, 5277 (英文) Chemical Abstracts, 33, 6144

著者以快中子与慢中子并在若干情况下还以氘核对銅、鋅、鎳与鍺进行轰击，并对所产生的放射性同位素作了研究。著者将試驗結果进行了表列，綜合了諸同位素的半衰期。Pool, Cork 与 Thornton 三氏 (Chemical Abstracts 31, 6101²) 提出以快中子轰击銅时能产生 Cu⁶¹ (3.5小时)，但是在本研究工作中并未发现以上事实。著者在以中子轰击鎳时，未发现如 Fermi 氏与其共同工作者 (Chemical

Abstracts, 31, 6101²) 所報告的半衰期為23小時的
迹象。
(吳賽文譯 仇鐵鶴校)

0006

放射性砷的同位素 (Radioactive arsenic isotopes) - Sagane R., Kozima S., Miyamoto G., Ikawa M.; Proceedings of the physico-Mathematical Society of Japan, 1939, 21, 660—71 (英文) Chemical Abstracts, 34, 1245

著者引用 Berkeley 式 (5.5—7.6兆電子伏) 日本東京式 (3兆電子伏) 運旋加速器的鈦核或快中子及慢中子來轰擊溴、硒、砷與鉻，並研究了所產生的六種砷的放射性同位素的衰變期。試驗獲得了下列結果：(1) As⁷³：當 Br⁸¹ 為中子轰擊後，可獲得 As⁷³，[Br⁸¹(n, α)As⁷³] 經試驗找出其放射性 (ε⁻) 為 65 分同時其能量上限為 1.4 兆電子伏。著者相信上述同位素亦可產生自快中子對 Se⁷⁸ 的轰擊，即 [Se⁷⁸(n, p)As⁷³]。(2) As⁷⁷：當 Ge⁷⁶ 為 氚核轰擊後，可獲得 As⁷⁷，[Ge⁷⁶(d, n)As⁷⁷] 所給出的放射性 (ε⁻) 為 90±10 日，同時其能量上限為 0.12 兆電子伏。所發射的 (ε⁻) 是極弱的。(3) As⁷⁶：下列諸反應可產生上述同位素，[Br⁷⁹(n, α)As⁷⁶]；Se⁷⁶(n, p)As⁷⁶；As⁷⁵(n, γ)As⁷⁶；⁷⁵As⁷⁵(d, p)As⁷⁶；該同位素可給出一個強的放射性 (ε⁻)，26 小時。在一雲室內研究了 β-射線，找到了兩個組分，它們的能量上限分別為 1.31±2.75 兆電子伏。最少有兩支 γ-射線被觀察到(它們的能量分別為 0.5 及 1.5 兆電子伏，半吸收厚度分別為 3 及 10 毫米鉛)。著者通過化學的方法核對了 As⁷⁶ 的制備方法。(4) 以氹核轰擊 Ge 所產生的 As⁷⁴，[Ge⁷³(d, n)As⁷⁴ 与 As⁷⁵(n, 2n)As⁷⁴] 給出一個強的半衰期為 16 日的放射性。通過雲室的研究反映出有 ε⁻ 與 ε⁺ 的發射，它們能量上限經估計分別為 0.9 與 1.3 兆電子伏。著者並以 Li + 氹核中子進行了重複試驗，同樣也得到了 16±1 日的半衰期。至于找到的 β-射線譜的上限是與 Ge + 鈦核的試驗結果相重合的。(5) As⁷³ 与 As⁷¹(?)，著者相信是由鈦核轰擊鉻而來的，[Ge⁷²(d, n)As⁷³ 与 Ge⁷⁰(d, n)As⁷¹]，發現了作為 88 分及 50 小時的正電子放射性。當以中子轰擊 Ge 時上述結果是得不到的。著者設想 88 分半衰期是由於 As⁷³，而 50 小時半衰期是由於 As⁷¹。由於截至目前止東京式運旋加速器的能力較弱，不能生產足夠的試驗原料，所以在本文中著者就沒有進行化學試驗。著者在本文內還給出了化學分離的方法。
(仇鐵鶴譯 吳賽文校)

0007

來自放射性同位素 Ni⁶³, Zn⁶³, Zn⁶⁵, Zn⁶⁹, Zn^{69*}, Ga⁶⁸, Ga⁷⁰, Ga⁷², Ge⁷¹, Ge⁷⁵ 与 Ge⁷⁷ 的 β-射線 (β-rays from radioactive isotopes, Ni⁶³, Zn⁶³, Zn⁶⁵, Zn⁶⁹, Zn^{69*}, Ga⁶⁸, Ga⁷⁰, Ga⁷², Ge⁷¹, Ge⁷⁵ and Ge⁷⁷) - Sagane R., Kozima S., Miyamoto G.; Proceedings of the Physico-Mathematical Society of Japan, 1939, 21, 728—42 (英文) Chemical Abstracts, 34, 2697

著者用在磁場中測量雲室徑迹曲率的方法研究了題述元素的 β-射線 (電子或正電子) 譜。

(吳賽文譯 仇鐵鶴校)

0008

鉻的放射性同位素 (Radioactive isotopes of germanium) - Seahay G. T., Livingston J. J., Friedlander G.; The Physical Review, 1941, 59, 320—1 (英文) Chemical Abstracts, 35, 2787

著者對鉻的放射性同位素進行了探討，其結果為：

初始輻射	反應	壽命
8-兆電子伏氣核	{ Ga ⁷¹ (d, 2n) Ge ⁷¹ } Ge ⁷⁰ (d, p) Ge ⁷¹	{ 40±2 小時 11 日 }
16-兆電子伏氣核	{ As ⁷⁶ (n, p) Ge ⁷⁵ } Ge ⁷⁶ (n, 2n) Ge ⁷⁵ Se ⁷⁸ (n, α) Ge ⁷⁵	89±2 分
16-兆電子伏 氹核快中子	{ Ge ⁷⁶ (d, p) Ge ⁷⁷ } Se ⁸⁰ (n, α) Ge ⁷⁷	12 小時

著者嘗試探討以 Ge⁷⁰(n, 2n) Ge⁶⁹ 与 Ga⁶⁹(d, 2n) Ge⁶⁹ 反應來產生 Ge⁶⁹ 但未能獲得成功。

(吳賽文譯 仇鐵鶴校)

0009

產生於鉻中的放射性 (Radioactivity produced in germanium) - Sagane R., Miyamoto G., Ikawa M.; The Physical Review, 1941, 59, 904; 參閱 Chemical Abstracts, 33, 6144; 34, 1245 (英文) Chemical Abstracts, 35, 5028

著者給出同位素，半衰期，輻射的類型與能量為：Ge⁷⁷，8—12 小時，ε⁻，1.92 兆電子伏；Ge⁷⁵，82±2 分，ε⁻，1.10；Ge⁷¹，30±4 小時，ε⁺，1.15；著者未發現 Ge⁷¹，40 小時，Ge⁷¹，11 日与 Ge⁶⁹，30 分；Ga⁷⁴，9 日，0.8 兆電子伏；As⁷⁴，16 日；As⁷⁷，90 日；As⁷³，50 小時，ε⁺，0.6；著者未發現有 As，88 分，ε⁺；Ga，9 日；Ga，20

分; Ga, 60分。由 Ge (*d, p*), Ge (*n, γ*), Ge (*n, 2n*), As (*n, p*), Se (*n, α*) 等反应可产生 Ge⁷⁶; Ge (*n, γ*), Ge (*n, 2n*), Ge (*d, p*), Se (*n, α*) 等反应可产生 Ge⁷¹; Ge 与快中子反应可产生 Ge^{70,72}; Ge 与氘核反应可产生 Ge^{68,70,72,74}。

(吳賽文譯 仇鉄鈞校)

0010

迴旋加速器的靶：制备与放射化学分离。I. 鋼与鍶 (Cyclotron targets: preparation and radiochemical separations. I. Arsenic and germanium)-Irvine John W., Jr.; Journal of Physical Chemistry, 1942, 46, 910—14 (英文) Chemical Abstracts 37, 1328

在一試驗靶上以迴旋加速器轰击一个Ge-Cu合金能产生放射性砷，其反应为Ge (*d, n*) As。文内描述了能产生高放射性比度而在操作上危险性最小的放射性砷的分离方法。著者正规地制备了放射性比度为10—15毫居里/毫克、半衰期为50小时的砷与1—2毫居里/毫克、半衰期为16日的砷。著者还制备了不为砷污染的放射性鍶，該放射性鍶是以硫化物状态沉淀出来的。

(吳賽文譯 仇鉄鈞校)

0011

以鍶的γ-辐射所致的核的光效应。I. 从元素鉻至元素铷 (Nuclear photoeffect with lithium γ-radiation. II. The elements titanium to rubidium)-Huber O., Lienhard O., Waffler H.; Helvetica Physica Acta, 1944, 17, 195—214 (英、法、德文) Chemical Abstracts, 40, 5636

著者给出了被辐射的原子核，观察的半衰期与相对产额(与蜕变同位素)如下: Si³⁸, 4.5±0.5秒, 2.6±0.5; Ti⁴⁶, 3.0±0.3小时, 7.4±1; Cr⁵⁰, 45±5分, 9±2; Fe⁵⁴, 8.9±0.5分, 31±3; Ni⁵⁸, 36.9±1.5小时, 3.9±0.7; Cu⁶³, 10.5±0.25分, 100; Cu⁶⁵, 11.9±1.0小时, 2.4±0.4; Ge⁷², 36±2.5小时, 5.6±1; Ge⁷⁶, 90±6分, 24±3; Rb⁸⁷, 約17日, 53±10。Cr的同位素是过去未曾检定过的。

(吳賽文譯 仇鉄鈞校)

0012

几种放射性同位素的β-和γ-射线能量 (β- and γ-ray energies of several radioactive isotopes)-Miller L. C., Curtiss L. F.; The Physical Review, 1946, 70, 983 (英文) Chemical Abstracts, 41, 2322

著者报告了几种同位素的β-射线与γ-射线能量(兆电子伏)以及相对γ-射线强度为: 26.3小时As⁷⁶, —, 0.57(5), 1.25(2), 1.84(很弱), 2.15(很弱); 24.1小时W¹⁸⁷, 0.6与1.3, 0.48(3), 0.69(2); 14.1小时Ga⁷², —, 0.64(1), 0.84(6), 2.25(6); 26.5日Cr⁵¹, —, 0.32(?); 18小时Re¹⁸⁸, —, 0.16(4), 0.48(1), 0.64(2), 0.94(2), 1.43(1); 51.5日Hg^{203或205}, 少于0.3, 0.28(?); 40小时La¹⁴⁰, —, 0.335(1), 0.49(10), 0.83(20), 1.63(100), ~2.3(5); 46小时Sm, —, 0.11(?), ~0.6(?); 60日Sb¹²⁴, 0.53与2.25, —; 2.8日Sb¹²², 1.36与1.94, —; 11日Ge⁷¹, ~0.6(大概是正电子), ~0.5(?)(可能是湮没辐射); 67小时Mo⁹⁹, —, 0.24(?), 0.75(?), 2.5小时Dy¹⁶⁵, —, 0.37(?), ~1.0(?).

(吳賽文譯 仇鉄鈞校)

0013

來自 As⁷² 的輻射 (Radiations from As⁷²)-Mitchell Allan G. G., Jurney Ed. T., Ramisev Margaret; The Physical Review, 1947, 71, 825 (英文) Chemical Abstracts 41, 4708

著者以具有23兆电子伏的α-粒子轰击鎵，制得了As⁷²。并且进行了化学分离。由As⁷²得到的放射性物质，其半衰期为26小时，并伴有少于2%半衰期为数日的放射性物质，它大概是半衰期为16日的As⁷⁴。正电子最大能量为2.78±0.10兆电子伏。γ-能量的最大值为2.4兆电子伏。由于正电子的发射可能不会导致Ge⁷²的基态。这里有較1为多的正电子群。对每个γ-射线来说其γ-γ符合为0.00106。因为Ge⁷²与As⁷²的辐射中存在有2.4兆电子伏γ-射线，Ge⁷²的一个能级可能是被Ga⁷²或As⁷²的蜕变而激发的。

(吳賽文譯 仇鉄鈞校)

0014

Se⁸³与Ge⁷⁷的短寿命的同質異能態 (Short-lived isomeric states of Se⁸³ and Ge⁷⁷)-Arnold James R., Sugarman Nathan; The Journal of Chemical Physics, 1947, 15, 703—12 (英文) Chemical Abstracts, 42, 451

著者分别地从中子辐照过的SeO₃²⁻溶液中与辐照过的GeS₃²⁻溶液中提取出Br与As来，上述试验揭示出有短寿命的Se⁸³与Ge⁷⁷同位素存在，它们是通过β-发射分别地衰变成半衰期为2.4小时的Br⁸³与40小时的As⁷⁷。引用AI吸收器以测量辐照过20秒

的Se的放射性的方法对一个来自短寿命的Se的辐射的直接觀察，給出了一個 67 ± 3 秒的半衰期与一个3.4兆电子伏的 β^- 能量。在試驗过程中著者还觀察到有 γ -射線。同样地著者以中子幅照 GeS_2 20秒，发现有短寿命的放射性锫，并且通过Al吸收器測量了放射性。通过試驗觀察到其半衰期为 59 ± 2 秒与 β^- 能量为2.8兆电子伏。从来自短寿命 Se^{83} 的半衰期为67秒的Se的形成的截面与半衰期为2.4小时的 Br^{83} 的形成的截面之間的一致性，使著者认为半衰期为67秒的Se可能遺传地相关于半衰期为2.4小时的 Br^{83} 。以类似的方式文內証明了半衰期为59秒的Ge可能是与短寿命的 Ge^{77} 是相同的。半衰期为67秒的放射性 Se^{83} 的存在是由于負 β -粒子发射衰变为2.4小期的 Br^{83} ，半衰期为59秒的放射性 Ge^{77} 的存在是由于衰变为40小时的 As^{77} ，解决了在分裂中 $\text{Br}^{83} + \text{As}^{77}$ 在表观上看来具有高的“自主的”产額的困难。著者还发现有半衰期为 17.5 ± 0.3 秒的新放射性Se存在，它通过約150千电子伏的 γ -辐射的发射而衰变。以中子激活Se而形成該放射性的截面約为0.6靶恩(0.6×10^{-24} 厘米 2)。

(吳賽文譯 仇鉄鶴校)

0015

热能中子激活截面 (Thermal neutron activation cross sections)-Seren Leo., Friedlander H. N., Turkel S. H.; The Physical Review, 1947, 72, 888—901; 參閱 Chemical Abstracts, 41, 3363 (英文) Chemical Abstracts, 42, 817

著者在本文內討論了測量慢中子截面的激活方法。表列了以下同位素的自然丰度， $A+I$ 同位素的半衰期，同位素的截面与在Al中的 β^- 射線的质量吸收系数： ${}_{\text{H}}^1$, ${}_{\text{F}}^{19}$, ${}_{\text{Na}}^{23}$, ${}_{\text{Mg}}^{26}$, ${}_{\text{Al}}^{27}$, ${}_{\text{Si}}^{30}$, ${}_{\text{P}}^{31}$, ${}_{\text{S}}^{34}$, ${}_{\text{Cl}}^{35}$, ${}_{\text{K}}^{41}$, ${}_{\text{Ca}}^{40}$, ${}_{\text{Ca}}^{44}$, ${}_{\text{Ca}}^{48}$ (二个同质异能素), ${}_{\text{Sc}}^{45}$, ${}_{\text{Ti}}^{50}$ (一个同质异能素), ${}_{\text{V}}^{51}$, ${}_{\text{Cr}}^{54}$, ${}_{\text{Cr}}^{50}$, ${}_{\text{Mn}}^{55}$, ${}_{\text{Fe}}^{54}$, ${}_{\text{Co}}^{59}$ (一个同质异能素), ${}_{\text{Ni}}^{64}$, ${}_{\text{Cu}}^{63}$, ${}_{\text{Cu}}^{65}$, ${}_{\text{Zn}}^{64}$, ${}_{\text{Zn}}^{68}$ (二个同质异能素), ${}_{\text{Ga}}^{69}$, ${}_{\text{Ga}}^{71}$, ${}_{\text{Ge}}^{70}$ (一个同质异能素), ${}_{\text{Ge}}^{74}$, ${}_{\text{Ge}}^{76}$, ${}_{\text{As}}^{75}$, ${}_{\text{Se}}^{74}$, ${}_{\text{Se}}^{78,80}$ (二个同质异能素), ${}_{\text{Br}}^{82}$, ${}_{\text{Br}}^{79}$ (一个同质异能素), ${}_{\text{Rb}}^{81}$, ${}_{\text{Rb}}^{85}$, ${}_{\text{Rb}}^{87}$, ${}_{\text{Sr}}^{86}$, ${}_{\text{Sr}}^{88}$, ${}_{\text{Y}}^{89}$, ${}_{\text{Zr}}^{92}$, ${}_{\text{Zr}}^{94}$, ${}_{\text{Zr}}^{96}$, ${}_{\text{Nb}}^{93}$, ${}_{\text{Mo}}^{96}$, ${}_{\text{Mo}}^{98}$, ${}_{\text{Mo}}^{99}$, ${}_{\text{Rh}}^{103}$ (二个同质异能素), ${}_{\text{Ru}}^{102,104}$, ${}_{\text{Ru}}^{105}$ (一个同质异能素), ${}_{\text{Pd}}^{108}$, ${}_{\text{Ag}}^{107}$, ${}_{\text{Ag}}^{109}$ (二个同质异能素), ${}_{\text{Gd}}^{114}$

(二个同质异能素) ${}_{\text{Cd}}^{116}$, ${}_{\text{Cd}}^{121}$, ${}_{\text{In}}^{113}$, ${}_{\text{In}}^{115}$ (二个同质异能素), ${}_{\text{Sn}}^{112}$, ${}_{\text{Sn}}^{114}$, ${}_{\text{Sn}}^{115}$ (一个同质异能素), ${}_{\text{Sb}}^{121}$, ${}_{\text{Sb}}^{123}$, ${}_{\text{Te}}^{126}$ (一个同质异能素), ${}_{\text{Te}}^{128}$ (二个同质异能素), ${}_{\text{Te}}^{130}$ (一个同质异能素) ${}_{\text{Li}}^{127}$, ${}_{\text{Cs}}^{133}$ (二个同质异能素), ${}_{\text{Ba}}^{138}$, ${}_{\text{La}}^{139}$, ${}_{\text{Pr}}^{141}$, ${}_{\text{Sm}}^{142}$ (21分), ${}_{\text{Sm}}^{152}$, ${}_{\text{Sm}}^{154}$ (60分), ${}_{\text{Eu}}^{151}$, ${}_{\text{Eu}}^{151,153}$, ${}_{\text{Gd}}^{157}$ (四个同质异能素), ${}_{\text{Th}}^{159}$, ${}_{\text{Dy}}^{164}$ (一个同质异能素), ${}_{\text{Ho}}^{165}$, ${}_{\text{Tm}}^{169}$, ${}_{\text{Lu}}^{175,176}$, ${}_{\text{Lu}}^{176}$, ${}_{\text{Hf}}^{180}$, ${}_{\text{Ta}}^{181}$, ${}_{\text{Ta}}^{181}$, ${}_{\text{W}}^{184}$, ${}_{\text{W}}^{186}$, ${}_{\text{Re}}^{186}$, ${}_{\text{Rh}}^{187}$, ${}_{\text{Os}}^{189}$, ${}_{\text{Os}}^{192}$, ${}_{\text{Ir}}^{191}$ (一个同质异能素), ${}_{\text{Ir}}^{193}$, ${}_{\text{Pt}}^{196}$ (二个同质异能素), ${}_{\text{Pt}}^{198}$, ${}_{\text{Au}}^{197}$, ${}_{\text{Hg}}^{204}$, ${}_{\text{Hg}}^{202,204}$, ${}_{\text{Tl}}^{204}$, ${}_{\text{Tl}}^{206}$, ${}_{\text{Bi}}^{209}$ 。
(吳賽文譯 仇鉄鶴校)

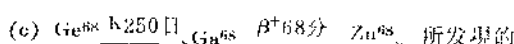
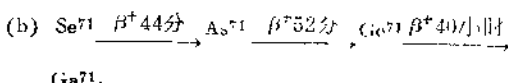
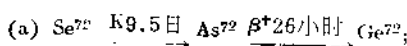
0016

以190兆电子伏氘核所導致的砷的核反应

(Nuclear reactions of arsenic with 190-m. e. v. deuterons)-Hopkins H.H., Jr.; Cunningham B. B.; The Physical Review, 1948, 73, 1406--7

(英文) Chemical Abstracts, 42, 5765

以190兆电子伏氘核轰击 As^{75} 的薄靶。著者以下列衰变鏈来表示质量的归属：



所发现的同位素为：

因为对化学分离是需要时间的，著者未能观察到半衰期小于15分钟的放射性物质。著者未检定出有半衰期大于200日的产额較 As^{75} 产额小0.05的同位素。上表所列的数据其特征为：(a) 与同位素 As 相較， Se 的产额是低的，(b) 从 Se 至 Ga 缺少中子的同位素的优势与(c) 在 Zn 以下的元素含有作为多余中子的同位素的存在。其产额是可比于缺少中子的同位素的产额的。所观察到的80%以上的反应其所产生的同位素是在 As^{75} 8质量单位以内的。因为这些反应需要以約75兆电子伏或更少一些的能量激发，所以在絕大多数观察到的反应中显示出高能量氘核仅能给出其能量的一部分。

同位素	輻射	觀察的半衰期	產額 As^{72} - 1	ΔZ	ΔM
As^{73}	(K, γ , e^-)	120日	0.11	+ 1	0
As^{73}	β^+	6.7小時	0.09	+ 1	- 2
As^{73}	K	9.5日	0.1	+ 1	- 3
As^{73}	β^+	44分	0.01	+ 1	- 4
As^{74}	β^-, β^+, γ	19.0日	1.1	0	- 1
As^{74}	β^+	26小時	1.00	0	- 3
As^{74}	β^+	52分	0.3	0	- 4
As^{75}	β^+, K	{38小時 11.4日}	{2 ~ 2}	- 1	- 4
As^{75}	K	250日	~ 5	- 1	- 6
As^{75}	β^+	68分	0.2	- 2	- 7
As^{75}	K, γ , e^-	83小時	~ 3	- 2	- 8
As^{75}	β^+	10小時	~ 0.1	- 2	- 9
As^{75}	(β^-, γ)	~ 50小時	~ 0.001	- 3	- 3
As^{75}	($\beta^-, I.T., \gamma$)	{51分 14小時}	{0.07 0.05}	- 3	6
As^{76}	β^-	61小時	0.02	4	- 8
As^{76}	(β^-, β^+ , K, γ)	13小時	0.1	- 4	11
As^{76}	(β^+, K)	3.3小時	0.1	- 4	- 14
As^{76}	(β^+)	~ 20分	0.06	- 4	- 15
As^{76}	β^-	56小時	0.002	- 5	9
As^{76}	(β^-, γ)	2.6小時	0.001	- 5	- 10
As^{76}	β^+	34小時	0.0002	- 5	- 18
As^{77}	(β^+)	1.8小時	0.003	- 6	- 14
As^{77}	(β^+, γ, K)	~ 80日	0.06	6	- 19
As^{77}	β^+, γ	~ 16小時	0.003	6	- 20
As^{77}	(β^-, γ)	43日	0.005	- 7	- 16
As^{77}	(β^-, γ)	2.6小時	0.002	- 8	- 19
As^{77}	(β^+, γ, K)	6日	0.0002	8	23
As^{78}	(K, e^-)	26.5日	0.005	- 9	- 24

(表內括弧系表示仅根据半衰期測定的鑑別)

(吳賽文譯 仇鐵僕校)

0017

人工放射性 Se^{73} 与 Se^{75} (Artificially radioactive Se^{73} and Se^{75}) Cowart W. S., Pool M. L., McGown D. A., Woodward L. L.; The Physical Review, 1948, 73, 1454-7 (英文) Chemical Abstracts, 42, 5766

以 α -粒子轰击鍶可以产生一种半衰期为 7.1 小时的放射性同位素。經对該同位素进行鑑定后确定它是 Se^{73} 。吸收測量指出有 1.29 兆电子伏的正电子最大能量存在。Al π -射線吸收的測量指出有一个 π -射線发射，其质量吸收系数为 22.1 厘米 2 /克，它相当于 1.17 Å。以 α -粒子轰击經电磁富集的从 21.2% 至 90% 的 Ge^{70} ，进一步証实了該放射性同位素是 Se^{73} 。著者以氘核轰击 As_2Se_3 ，其所产生的 Se^{75} ，对 1000 日衰变期來說經发现其半衰期为 127 ± 2 日。最后还观

察了上述放射性同位素的 K 俘获与 0.22 兆电子伏与 0.43 兆电子伏的 γ -辐射。(吳賽文譯 仇鐵僕校)

0018

以鋰 γ -辐射進行 (γ, n)-反應的相對截面 (量子能 $h\nu = 17.5$ 兆电子伏) (Relative cross section for the " γ, n " process with lithium-gamma-radiation "quantum energy $h\nu = 17.5$ m. e. v.") Wäffler H., Hirzel O.; Helvetica Physica Acta, 1948, 21, 200-3 (德文, 法文, 英文) Chemical Abstracts, 42, 8631

以下为放射性原子核，半衰期与相对截面：
 N^{33} , 9.3 分, 0.3; O^{15} , 130秒, 0.3; F^{18} , 115 分, 2.5; Mg^{23} , 11.9秒, 1.3; Al^{26} , 7.2秒, 2.7; Si^{27} , 4.5 秒, 0.7; S^{31} , 29 秒, 4.1; Cl^{34} , 33.2 分, 3.7; K^{38} , 8 分, 4.5; Ca^{39} , 1.06 秒, 2.0; Sc^{44} , 52 小时, 3.6 小时, 23; Ti^{45} , 3.1 小时, 29; Cr^{49} , 45 分, 22; Fe^{53} , 8.9 分, 38; Cu^{62} , 9.88 分, 100; Cu^{64} , 12.8 小时, 150; Zn^{63} , 38.3 分, 62; Ge^{75} , 90 分, 114; Se^{81} , 56.5 分, 3.6 分, 155; Br^{78} , 6.3 分, 73; Br^{80} , 4.6 小时, 17.7 分, 83; Rb^{86} , 19.5 日, 200; $\text{Mo}^{91, 93}$, 15.5 分, 73 秒, 約 115; Mo^{99} , 63.5 小时, 120; Pd^{100} , 13.1 小时, 138; Ag^{108} , 2.4 分, 176; In^{114} , 48.5 日, 72 秒, 150; Sn^{123} , 39.5 分, 130; Sb^{120} , 16 分, 130; Sb^{122} , 64 小时, 180; Te^{127} , 35.5 日, 67.3 分, 152; Pr^{140} , 3.4 分, 81; Ho^{164} , 38.6 分, 54; Pt^{197} , 18 小时, 約 200; Au^{196} , 5.5 日, 約 460。

(吳賽文譯 仇鐵僕校)

0019

鍶与鍶的放射性同位素 (Radioactive isotopes of gallium and germanium) McGown D. A., Woodward L. L., Pool M. L.; The Physical Review, 1948, 74, 1311-14 (英文) Chemical Abstracts, 43, 936

由 $\text{Zn} (\alpha, n)$, $\text{Ga} (d, 2n)$ 与 $\text{Ge} (n, 2n)$ 反應产生半衰期为 1.65 日的放射性 Ge ，但是以氘核轰击 Ge 不能产生放射性 Ge 。該同位素被重新指定为 Ge^{69} 。 Ge^{69} 在衰变时发射出正电子， π -射線与 γ -射線。著者在以氘核轰击 Ga 时，未发现有半衰期为 195 日的 Ge^{69} 存在的証據。著者以弯曲的結晶照像机对从半衰期为 11.4 日的 Ge^{71} 的衰变放射性所产生的 Ge 的特征 π -射線进行了照像。以氘核轰击由电离富化至 70% 的 Ge^{76} ，未給出半衰期为 9 日的 Ge^{74} 。以快中子轰击 As 所产生的 Ge^{75} 的半衰期为 1.37 ±

0.02小時。以 α -粒子轰击Zn所产生的Ga⁶⁷的半衰期为3.26±0.02日。(吳賽文譯 仇鐵僑校)

0020

放射性砷同位素 (Radioactive arsenic isotopes)-McGown D. A., Woodward L.L., Pool M. L.; The Physical Review, 1948, 74, 1315—19; 參閱Chemical Abstracts, 42, 5766 (英文) Chemical Abstracts, 43, 936

著者通过 α -粒子同时轰击以电磁富化到90%的Ge⁷⁰与具正常同位素组成的Ge, 确定了一个质量为73, 半衰期为76(±3)日的放射性砷的位置。衰变是通过K-俘获至Ge⁷⁰内所致的。 γ -射线的能量约为0.10兆电子伏。从10个以上As⁷⁴的半衰期的测定结果中得知As⁷⁴的半衰期为17.5±0.1日。著者以氘核同时轰击經過富化的二个Se样品, 一为同位素Se⁷⁴, 另一为同位素Se⁷⁶, 确定了质量为72, 半衰期为1.08日的放射性砷的位置。以氘核轰击Ge可产生半衰期为2.08日的放射性As同位素, 証明为As⁷¹。

(吳賽文譯 仇鐵僑校)

0021

在一个“偶-偶”原子核中短寿命的亞穩態: Ge⁷² (Short-lived metastable state in an “even-even” nucleus: Ge⁷²)-Bowe J.C., Goldhaber M., Hill R.D., Meyerhof W.E., Sala O.; The Physical Review, 1948, 73, 1219 (英文) Chemical Abstracts, 43, 4094

本篇論文系在美国物理学会上宣讀的論文, 用摘要的形式发表。(吳賽文譯 仇鐵僑校)

0022

若干光核反应的產額 (Yields of some photonuclear reactions)-Perlman M. L.; The Physical Review, 1949, 75, 988—9; 參閱 Chemical Abstracts, 42, 8073 (英文) Chemical Abstracts, 43, 4116

著者在本文内报告了在质量为60附近的若干 γ , n , γ , p 与 γ , pn 反应的相对产額。(同时还报告了半衰期与 β -能量)

反 应	相 对 产 额	
	100兆电子伏	50兆电子伏
$^{71}\text{Ni}^{64}(\gamma, n)^{71}\text{Ni}^{63}$	1.00	1.00
$^{44}\text{Cr}^{60}(\gamma, n)^{44}\text{Cr}^{59}$	13	12
$^{76}\text{Ge}^{64}(\gamma, n)^{76}\text{Ge}^{63}$	15	15

$^{28}\text{Ni}^{58}(\gamma, n)^{28}\text{Ni}^{57}$	>6.3	>6.0
$^{29}\text{Cu}^{65}(\gamma, n)^{29}\text{Cu}^{64}$	41	32
$^{39}\text{Zn}^{64}(\gamma, n)^{39}\text{Zn}^{63}$	26	26
$^{82}\text{Ge}^{70}(\gamma, n)^{82}\text{Ge}^{69}$	54	—
$^{88}\text{I}^{127}(\gamma, n)^{89}\text{I}^{126}$	>29	>30
$^{89}\text{Pr}^{141}(\gamma, n)^{89}\text{Pr}^{140}$	73	76
$^{82}\text{Ge}^{74}(\gamma, p)^{81}\text{Ga}^{73}$	2.5	—
$^{82}\text{Ge}^{70}(\gamma, pn)^{81}\text{Ga}^{69}$	3.4	—

(吳賽文譯 仇鐵僑校)

0023

核壳層結構與同質異能現象 (Nuclear shell structure and isomerism)-Feenberg Eugene; The Physical Review, 1949, 75, 320—2 (英文) Chemical Abstracts, 43, 4129

著者根据质子或中子数目为2, 8, 10, 20与50并联系以特別稳定的与丰富的核品种的事实, 提出了 $(1s)^2$, $(1s)^2(2p)^6$, $(1s)^2(2p)^6(2s)^2$, $(1s)^2(2p)^6(2s)^2(3d)^1$, $(1s)^2(2p)^6(3d)^10(4f)^14(5g)^16$ 核壳层结构。虽然2s和3p两者长方势阱是低于5g的, 在N或Z为50时形成核壳层, 必須取消2p与3p能級。随着N与Z的增加的2s与3p能級的表现向上移动可以被用来作为工作的假設并可用它来对自旋, 磁矩, 四极矩, 放射性轉变和在滿充壳层外面具有一个粒子的或从一个滿充壳层失踪一个粒子的核的同质异能現象作出解释。文內对 $^{28}\text{Ni}^{65}$, $^{39}\text{Zn}^{67}$, $^{31}\text{Rb}^{85}$, $^{37}\text{Rb}^{87}$, $^{39}\text{Rb}^{89,91,97}$, $^{39}\text{Zn}^{69}$, $^{82}\text{Ge}^{71}$, $^{39}\text{Y}^{87}$, $^{39}\text{Y}^{89}$, $^{39}\text{Y}^{91}$, $^{39}\text{Y}^{95,97}$, $^{82}\text{Ge}^{73}$, $^{34}\text{Se}^{74}$, $^{41}\text{Ca}^{91}$, $^{41}\text{Ca}^{93}$, $^{41}\text{Ca}^{95}$, $^{41}\text{Ca}^{97}$, $^{34}\text{Se}^{82}$, $^{36}\text{Kr}^{85}$, $^{38}\text{Sr}^{87}$, $^{40}\text{Zr}^{89}$, $^{49}\text{In}^{111,117}$, $^{49}\text{In}^{113}$, $^{49}\text{In}^{115}$, $^{59}\text{Kr}^{87}$, $^{38}\text{Sr}^{89}$, $^{40}\text{Zr}^{91}$, $^{42}\text{Mn}^{93}$, $^{51}\text{Sb}^{121}$, $^{51}\text{Sb}^{123}$, $^{51}\text{Sb}^{125}$, $^{51}\text{Sb}^{127,129}$, $^{51}\text{Sb}^{133}$ 的壳层结构, 同质异能現象与理論的和实验的自旋。从在N或Z=39的为數众多的同质异能的原子核这一事实指明协助以构型相互作用的两个紧密間隔的构型 $(1s)^2(2p)^6(3d)^10(4f)^14(2p)^6(2s)^2$ 和 $(1s)^2(2p)^6(3d)^10(4f)^14(2p)^6(5g)^1$ 确定了該系的基态与第一激发态。

(仇鐵僑譯 吳賽文校)

0024

對錫的天然丰度的測量 (Nature-abundance measurements on germanium)-Hibbs R. F., Redmond J. W., Gwinn H. R., Harman W. D.; The Physical Review, 1949, 75, 533—4 (英文) Chem-

ical Abstracts, 43, 4130

著者从对 GeF_3^+ 与 GeI^+ 的测量中测定了 Ge 同位素的丰度，分别为：质量 70, 20.60 ± 0.06 , 20.65 ± 0.04 ; 质量 72, 27.38 ± 0.08 , 27.43 ± 0.02 ; 质量 73, 7.83 ± 0.06 , 7.86 ± 0.04 ; 质量 74, 36.40 ± 0.10 , 36.34 ± 0.05 ; 质量 76, 7.78 ± 0.05 , 7.72 ± 0.01 。

(吳賽文譯 仇鐵鶴校)

0025

來自 Ge^{77} 与 Ge^{71} 的輻射 (Radiations from germanium⁷⁷ and germanium⁷¹)—Mandeville G. E., Woo Y. H., Scherb M. V., Keighton W. B., Shapiro E.; The Physical Review, 1949, 75, 1528—31; 參閱 Bull. Am. Phys. Soc., 1949, 24, № 1, 13 (英文) Chemical Abstracts, 43, 5295

著者发现半衰期为 12 小时的 Ge^{77} 能发射出 1.74 兆电子伏的 β -射线与 0.5 兆电子伏 γ -射线。著者在 12 小时周期内测量了 β - γ -符合。以慢中子轰击 锗不能形成半衰期为 40 小时的正电子发射体。半衰期为 11 日的 Ge^{71} 在衰变时继轨道电子俘获发射出 Ga 的 γ -射线。在过去所获得的吸收曲线中给出了半衰期为 11 日的放射性物质发射出荷电粒子的证据。著者在本文內討論了上述錯誤判断。

(吳賽文譯 仇鐵鶴校)

0026

原子核的短寿命同質異能素的測量 (The measurement of short-lived isomers of nuclei)—McGowan F. K., DeBenedetti S., Francis J. E., Jr.; The Physical Review, 1949, 75, 1761; 參閱同杂志, 1947, 72, 160; Chemical Abstracts, 41, 2983 (英文) Chemical Abstracts, 43, 6914

著者将在两个蕙閃燈計數器之間延迟符合法加以扩展并用来测量 10^{-6} 至 10^{-7} 秒范围内的時間間隔，并对设备进行了描述。著者未发现在 Au^{198} 的 β -衰变之后有过去报告过的半衰期为 $(2-3) \times 10^{-7}$ 秒的物质存在。 Re^{187*} 与 Ge^{72*} 的同质异能态分别具半衰期 $(5.5 \pm 0.5) \times 10^{-7}$ 秒与 $(2.9 \pm 0.6) \times 10^{-7}$ 秒。

(吳賽文譯 仇鐵鶴校)

0027

从微波譜中證明穩定鍺与硅同位素的核矩 (Evidence on nuclear moments of stable Ge and Si isotopes from microwave spectra)—Toussaint G. H., Mays J. M., Dailey B. P.; The Physical Review, 1949, 76, 700; 參閱 Chemical Abstracts, 42, 1820; 43, 8275 (英文) Chemical Abstracts,

43, 8871

Ge^{73} 核四极矩为 $-0.21 \pm 0.10 \times 10^{-24}$ 厘米²。 Ge^{73} 是最輕的原子核，其自旋可高达 $9/2$ 。著者未发现在 Ge^{70} , Ge^{72} , Ge^{74} 或 Ge^{76} 核四极矩的事实。另外也未觀察到由硅原子核所致的高度精細結構；根据以上事实提出 Si^{28} 与 Si^{30} 的自旋为零， Si^{29} 的自旋为 $1/2$ 。

(吳賽文譯 仇鐵鶴校)

0028

一种鍺的計數管 (A germanium counter)—McKay Kenneth G.; The Physical Review, 1949, 76, 1537 (英文) Chemical Abstracts, 44, 944

著者在本文內描述了一种鍺核一粒子計數管的特性。这种計數管对高电离比值的粒子的反应是最灵敏的，并能区别出 β -粒子来，等等。脉冲波上升的时间小于 0.05 微秒。(吳賽文譯 仇鐵鶴校)

0029

由于快速重粒子的作用所產生的固体无序排列 (The disordering of solids by action of fast massive particles)—Seitz Frederick; Discussions of Faraday Society, 1949, № 5, 271--82 (英文) Chemical Abstracts, 44, 2380

著者討論了由于将固体物质曝露于不同类型的辐射中所经历的广泛变化。討論了带电粒子，弹性碰撞，电子的激发与电离，被打出的原子的行为，由于带电粒子，中子轰击与裂块所产生的位移等的影响。著者計算 5 兆电子伏与 20 兆电子伏 α -粒子在玻璃，石墨，金刚石，铝，硅与鍺中所产生的位移数。著者将当散射为各向同性时由具有 2 兆电子伏的中子传递给 H, Be, C, Al 与 Ge 原子的平均能量进行了表列，并且还给出了 2 兆电子伏中子轰击，石墨与鍺使之緩慢至热能后所产生的位移。Siegel 氏以超过 50 千电子伏能量的中子使一个有序的 Ga_3Al 标样变得无序的结果与根据理論計算所得的结果是不相符的。著者提出所觀察到的多数无序是在撞出粒子的加热的“尾流”(wake) 内所產生的。

(吳賽文譯 仇鐵鶴校)

0030

由于快中子所带来的核轉化過程。統計核理論的證明 (Nuclear transformation processes with fast neutrons. Proof of the statistical nuclear theory)—Wäffler Hermann; Helvetica Physica Acta, 1950, 23, 239--58 (德文, 法文, 英文) Chemical Abstracts, 44, 4795

以来自 $(\text{Li} + \text{D})$ 与 $(\text{B} + \text{D})$ 的 500 千电子伏中子

获得了絕對截面。所涉及到的核反应与所测量的原子核为：(n, p)； Fe^{56} , Cu^{64} , Zn^{66} , Ge^{70} , Se^{76} , Mo^{98} , Ag^{109} , La^{139} ; ($n, 2n$)； Ni^{14} , F^{19} , K^{39} , Sc^{45} , Ti^{46} , Cu^{63} , Zn^{64} , Ge^{70} , Br^{79} , Zr^{90} , Ag^{107} , Sn^{124} , Sb^{121} , Te^{120} , Te^{126} , Pr^{141} , Ho^{165} 。著者将上述結果与从統計理論計算出的結果作了比較，对($n, 2n$)反應用來說，其一致性是在因数2以內的，但对(n, p)來說，实验截面較理論截面要高3—14倍。文內給出了有关上述矛盾的某些解釋。

(吳賽文譯 仇鈦備校)

0031

从元素鎇至元素砷中子散射共振現象 (Neutron-scattering resonances in elements from scandium to arsenic)-Harris S. P., Langsdorf A. S., Jr.; The Physical Review, 1948, 74, 1216; 參閱 Chemical Abstracts, 42, 1802 (英文) Chemical Abstracts, 44, 6291

本文曾在美國物理學會上提出過，現在發表的是該文之摘要。

(吳賽文譯 仇鈦備校)

0032

中子轟擊過的錫半導體 (Neutron-bombardeed germanium semiconductors)-Davis R. E., Johnson W. E., Lark-Horovitz K., Siegel S.; The Physical Review, 1948, 74, 1255 (英文) Chemical Abstracts, 44, 6292

本文曾在美國物理學會上提出過，現在發表的是該文之摘要。

(劉健慈譯 仇鈦備校)

0033

在含錫和放射性 Sb^{124} 的合金中，Hall效應與Geiger計數器的測量的關係 (Correlation of Geiger-counter and Hall-effect measurements in alloys containing germanium and radioactive antimony 124)-Pearson G. L., Struthers J. D., Theuerer H. G.; The Physical Review, 1950, 77, 809—13 (英文) Chemical Abstracts, 44, 6301

著者測量了 $\text{Ge}-\text{Sb}$ 合金錠中溶質原子的分布情況，此合金是按規定的冷卻循環法制備的，溶質為 Sb^{124} ，其分布情況用Geiger計數器測量，此外著者還測量了Hall效應。結果表明在杂质飽和範圍內，每個 Sb 原子給出一個傳導電子。這就使Hall方法有可能用來測定非放射性樣品中的溶質分布情況。

(劉健慈譯 仇鈦備校)

0034

利用氫穩定作用在超離心機中同位素的富化

(Isotope enrichment in ultracentrifuges with hydrogen stabilization)-Groth W., Hartecck P.; Zeitschrift für Elektrochemie, 1950, 54, 129—32; 參閱 Martin H., Chemical Abstracts, 44, 6694 (德文) Chemical Abstracts, 44, 6739

著者在本文內討論了采用超離心機法在加入氫的氣态化合物中同位素的富化問題。對用 Kr , Xe , H_2Se 和 GeV_4 所作的試驗作了引証，但未給出數據。在不加入氫的情況下，所獲得的富化物常常是低了從理論上所預期的，但是當氣體混合物中含有90%以上的氫時，即可得到在理論上所預期的富化數值。加入氫的優越性在於：(1)對流與湍動的抑制；(2)使得富化程度的測定簡易化；(3)增加在單一操作步驟中的富化。

(吳賽文譯 仇鈦備校)

0035

快中子轟擊對錫的影響 (Fast neutron bombardment effects in germanium)-Crawford J. H., Jr., Lark-Horovitz K.; The Physical Review, 1950, 78, 815—16 (英文) Chemical Abstracts, 44, 8255

在核反應堆中受中子轟擊的錫，通過嬗變(熱中子俘獲)而產生了杂质，並且因高能中子而引起晶格位移。著者認為，通過嬗變所引進的杂质與錫中載流子濃度因快中子而損失的效應比起來，往往是微不足道的。

(劉健慈譯 仇鈦備校)

0036

由嬗變產生的錫半導體 (Transmutation-produced germanium semiconductors)-Cleland J. W., Lark-Horovitz K., Pigg J. C.; The Physical Review, 1950, 78, 814—15 (英文) Chemical Abstracts, 44, 8255

暴露在核反應堆中的錫，變成了 p 型半導體(“空穴”或缺陷傳導)，這個傳導作用應該歸于原有杂质和由嬗變所引起的杂质的總和。

(劉健慈譯 仇鈦備校)

0037

As^{72} 的衰變過程 (The disintegration of arsenic 72)-Mei J.Y., Mitchell Allan C. G., Huddleston C. M.; The Physical Review, 1950, 79, 19—22 (英文) Chemical Abstracts, 44, 8255

著者觀察了由高能量 α -粒子轰擊 Ga 所產生的 As 同位素譜。所觀察到的 As 的同位素為：72, 26小時；74, 19.5日；與71, 60小時。 As^{72} 能發射出最

大能量為3.339(19.3%)，2.498(64.6%)，18.44(12.1%)，0.669(5.0%)與0.271(2.0%)兆電子伏的正電子群。著者發現有0.835兆電子伏的強 γ -射線與具有能量達3兆電子伏的幾支弱 γ -射線。 Ge^{72} 原子核產物的能級與那些從研究 Ga^{72} 時所發現的能級是極相一致的。最高能量的正電子群具有禁戒樣式(FORBIDDEN SHAPE)。 As^{74} 具有0.593兆電子伏的 γ -射線，1.43與0.82兆電子伏的負電子群，與一個約0.96兆電子伏的正電子群。著者以K-俘獲使 As^{73} 蛻變並且發射出一個相當於0.052兆電子伏 γ -射線的內變換線。 As^{71} 具有相當於0.162兆電子伏 γ -射線的一種內變換線。

(吳賽文譯 仇鐵鈞校)

0038

中子俘獲 γ -射線的多重性 (Neutron-capture γ -ray multiplicity)-Muethlhause C. O.; The Physical Review, 1950, 79, 277-9 (英文) Chemical Abstracts, 44, 8786

著者對三種核類型的每個中子俘獲的 γ -射線平均數 v_r 進行了測量。(奇，偶) \rightarrow (奇，奇)的數值： $\text{Na}^{28}<2$ ； Al^{27} ，~2； Cl^{35} ，3.1； V^{51} ，2.5； Mn^{55} ，2.6； Cu ，2.6； As^{75} ，2.7； Br ，3.4； Gd^{93} ，2.6； Ag ，2.9； In^{115} ，3.3； La^{139} ，2.7； Eu ，3.8； Re ，3.2； Ir ，3.6； Au ，3.5。(偶，奇) \rightarrow (偶，偶)的數值： Cr^{53} ，2.3； Ge^{71} ，~4； Cd^{113} ，4.1； Sm^{149} ，5.6； Gd ，3.9； Hg ，3.3。(偶，偶) \rightarrow (偶，奇)的數值： $\text{Cr}<2$ ； Fe ，1.7； Ge ，2.0； Dy^{164} ，3.7； Hf ，3.8。文內給出了 v_r 和原子量與核類型之間的相互關係。

(吳賽文譯 仇鐵鈞校)

0039

通過 γ -射線所致的 Li^8 原子核的發射 (The ejection of Lithium⁸ nuclei by γ -rays)-Millar G. H., Cameron A. G. W.; The Physical Review, 1950, 79, 182-3; 參閱 Chemical Abstracts 44, 6298 (英文) Chemical Abstracts 44, 8792

將一種厚層照相乳膠*曝露於26.7兆電子伏 γ -射線下，顯示了5個“鍤”徑迹。它們是來自(γ , Li^8)反應的，可能對 Ag ，繼之通過 $\text{Li}^8 \rightarrow 2\alpha$ 的反應的結果。著者應用Feenberg氏的公式[Fermi, Nuclear physics 1950, p. 7. (Chemical Abstracts 44, 6302g)]與Weizsäcker氏的公式(Review of Modern Physics, 1947, 19, 239)計算了以兆電子伏計的(γ , Li^8)反應的閾能。它們分別是： Br^{79}

$\rightarrow \text{Ge}^{71}$ ，25.2，25.8； $\text{Br}^{81} \rightarrow \text{Ge}^{53}$ ，25.0，25.0； $\text{Ag}^{107} \rightarrow \text{Ru}^{99}$ ，22.3，22.0； $\text{Ag}^{109} \rightarrow \text{Ru}^{101}$ ，21.4，21.5； $\text{I}^{127} \rightarrow \text{Sn}^{119}$ ，19.1，19.0。

* 譯者註：牌號為 Ilford 型 E1 核研究乳膠，100 微米厚。

(吳賽文譯 仇鐵鈞校)

0040

銻的光致裂變 (Photofission of bismuth)-Sugarman Nathan; The Physical Review, 1950, 79, 532-3 (英文) Chemical Abstracts, 44, 9266

著者應用電子迴旋加速器，在最大能量85兆電子伏時獲得銻的光致裂變。但並不排除由 Bi^{204} 與 Bi^{206} 發射出來的二次快速粒子所致的核裂變的可能性。裂變產物與光致裂變產額分別為：12小時 Ge^{77} ，~0.3%；40小時 As^{77} ，~0.4；35小時 Br^{82} ，~0.5；2.4小時 Br^{83} ，1.2；33分 Br^{84} ，~1.4；9.7小時 Sr^{91} ，2.8小時；2.7小時 Sr^{92} ，2.8；17小時 Zr^{97} ，3.0；4.5小時 Ru^{105} ，5.0；13小時 Pd^{109} ，~6.4；7.5分 Ag^{111} ，~2.8；5.3小時 Ag^{113} ，3.0；54分 Br^{84} ，~0.2；85分 Ba^{139} ，~0.1。從Goeckermann 与 Perlman二氏的論文內(Chemical Abstracts 43, 8855e)給出了氣核裂變產額與預期的總質系產額。光致裂變的產額—質量曲線比氣核裂變的產額—質量曲線要較窄些；一次裂變產物可能是中子過剩的，同時可以 β^- 的發射而導致衰變。每克銻的裂變速率約為鈾的1/1000。

(吳賽文譯 仇鐵鈞校)

0041

在科學實驗中的核子反應堆 (Nuclear reactors in scientific experiments)-Cockcroft John; Endeavour, 1950, 9, 55-63 (英文) Chemical Abstracts, 45, 43

著者描述了在英國 Harwell 的 GLEEP 原子反應堆。文內概括地綜述了使用來自反應堆的中子束對晶體衍射的研究，並對 NaCl , LiF , Cu , MnO , KAl , 有序與無序 Fe-Co 等研究工作進行了回顧。最後著者還描述了中子幅照對 Ge 整流器的影響。

(吳賽文譯 仇鐵鈞校)

0042

堆中子吸收截面 (Pile-neutron absorption cross sections)-Harris S. P., Muethlhause C. O., Rasmussen S., Schroeder H. P., Thomas G. E.; The Physical Review, 1950, 80, 342-4 (英文)

Chemical Abstracts 45, 463

在一个重水反应堆的中子流中测量了中子吸收截面。截面如下(以靶恩为单位): B, 710; Na, 0.52; Mg, 0.06; Al, 0.22; Si, 0.16; S, 0.51; Cl, 31.5; K, 2.11; Ca, 0.43; Sc, 31.8; Ti, 5.88; V, 4.93; Cr, 3.05; Mn, 12.3; Fe, 2.48; Co, 35.7; Ni, 4.37; Cu, 3.71; Zn, 1.09; Ga, 3.10; Ge, 2.64; As, 5.46; Se, 12.2; Br, 8.83; Sr, 1.53; Zr, ~0.4; Nb, 1.51; Mo, 3.04; Ru, 6.30; Rh, 172; Pd, 10.3; Ag, 90; Sn, 0.72; Sb, 8.15; Te, 5.82; I, 9.23; Cs, 35.8; Ba, 1.35; La, 9.01; Ge, ~0.65; Nd, 52; Sm, ~8200; Gd, 36,500; Hf, 171; Ta, 36; W, 24; Re, 120; Ir, ~470; Pt, 13.5; Au, ~157; Hg, ~380; Tl, 3.65; Pb, 0.16; Bi, 0.038。

(吳賽文譯 仇鐵鈞校)

0043

由 α -粒子的轰击所引起的錫的电導率的变化

(Changes in conductivity of germanium induced by α -particle bombardment) -Brattain W. H., Pearson G. L.; The Physical Review, 1950, 80, 846~50; 參閱同杂志, 78, 646 (英文) Chemical Abstracts, 45, 1438

以来自Po的 α -粒子轰击 n 型Ge, 首先按 α -粒子: 传导电子=1:78的比例将传导电子消除, 在电子被消除后, 在每个 α -粒子为8.6的最初速率引进传导空穴。当轰击停止后, 在室温下这些空穴中的一部分将随时间而消失, 每个 α -粒子只留下2个传导空穴。这个变化仅仅发生在粒子的穿透深度(0.0019厘米)以内。空穴沿深度的分布是不均匀的, 在0.0014厘米深处, 空穴浓度由最初值上升到最大, 然后下降到零, 最大值约为最初值的2.5倍。著者繪制了以穿透深度 x (单位为厘米) 为横坐标, 以 $\frac{1.9 \times 10^{-3}}{N_\alpha} \cdot \frac{dN_p}{dx}$ 为纵坐标的曲线; 此处 N_p 为空穴浓度, N_α 为 α 粒子的浓度。用积分法求得的这个曲线以下的面积是每个 α 粒子有两个空穴*。

* 譯者註: 經參考原文獻对文摘作了补充。

(劉健慈譯 仇鐵鈞校)

0044

 $(n, 2n)$ 与 (n, p) 截面 ($"n, 2n"$ and $"n, p"$ cross sections)-Cohen Bernard L.; The Physical Review, 1951, 81, 184~8 (英文) Chemical

Abstracts, 45, 2786

著者以已知通量的中子轰击样品的方法, 测量了几种($n, 2n$) 与 (n, p) 反应的截面, 并且测量了感生的 β -放射性, 作了 β -射线的自吸收精細改正。著者应用已知入射中子的能譜計算了由Weisskopf氏統計理論所預期的截面。由上述两种方法所測得的数据是极相一致的。从結果中反映出奇-奇原子核中的能級密度較在偶-偶原子核中的能級密度为大, 相差因数为3±1。著者討論了防御方法的应用与对闕检知器的使用。著者表列了 ($n, 2n$) 对 N^{14} , F^{19} , I^{131} , K^{39} , Ti^{46} , Cr^{50} , Fe^{54} , Ni^{58} , Co^{60} , Zn^{64} , Ga^{69} , As^{75} , Rb^{85} , Zr^{90} , Ru^{96} , Ag^{107} , Sb^{121} , I^{127} , 与 Pr^{141} 的反应結果以及 (n, p) 对 O^{16} , Mg^{24} , Al^{27} , Si^{28} , Si^{29} , P^{31} , S^{32} , Ca^{42} , Ti^{48} , Ti^{49} , Cr^{52} , Fe^{56} , Ni^{58} , Cu^{65} , Zn^{66} , Ge^{70} , Se^{76} , Se^{77} , Rb^{87} , Sr^{88} , Zr^{90} , Mo^{97} , Ru^{101} , Ag^{109} , Ba^{138} 与 La^{139} 的反应結果。

(吳賽文譯 仇鐵鈞校)

0045

关于錫点接触整流器內由于电子轰击感生的电導性(Electron-bombardment-induced conductivity in germanium point-contact rectifiers)-Moore A. R., Herman F.; The Physical Review, 1951, 81, 472~3 (英文) Chemical Abstracts, 45, 3707

文内用数千电子伏能量的电子以在錫整流器中感生电导性。
(吳賽文譯 仇鐵鈞校)

0046

以中子衍射测定相干散振幅 (Coherent scattering amplitudes as determined by neutron diffraction)-Shull G. G., Wollan E. O.; The Physical Review, 1951, 81, 527~35 (英文) Chemical Abstracts, 45, 3727

著者使用中子衍射技术测定并概述了下列物质的相干散射性质, 这些物质是: H^1 , H^2 , Li , Li^6 , Li^7 , Be^9 , Cl^{12} , N^{14} , O^{16} , F^{19} , Na^{23} , Mg , Al^{27} , S , Cl , K , Ca , Ca^{40} , Ca^{44} , Ti , V^{51} , Cr , Mn^{55} , Fe , Fe^{54} , Fe^{56} , Fe^{57} , Co^{59} , Ni , Ni^{58} , Ni^{60} , Ni^{62} , Cu , Zn , Ge , As^{75} , Se , Br , Rb , Sr , Zr , Ge^{69} , Mo , Pd , Ag , Ag^{107} , Ag^{109} , Su , Sb , I^{127} , Ge^{133} , Ta^{181} , W , Pt , Au^{197} , Pb , B^{209} 和 Th^{232} 等。文中给出了散射相位和关于相干散射振幅及截面、关于总散射截面等的数值。著者发现了在同位素散射性质中的显著特殊性, 并指出了許多核素具有强的自旋依附散射性质。文中还给出了热漫散射及核自旋

不相干散射的例子。

(劉健慈譯 仇鉄僑校)

0047

短壽命放射性的放射化學的研究 (Radiochemical studies of short-lived activities)-Sugarman N.; Brookhaven Conf. Rept., BNL-G-9, Nuclear Fission Radiochem. Research Assocd. Nuclear Reactors, Chem. Conf., 1949, № 3, 52—66 (英文) Chemical Abstracts, 45, 3729

在本文內著者評論了研究半衰期小於數分的放射性原子核的新方法。通過以下例子說明使用非化學技術的測定法 (通過不同的吸收器測量衰變曲線): (1) 作為 Ge^{77} 的較高能態, 衰變至半衰期為 40 小時的 As^{77} , 對半衰期為 59 秒的銻加以識別, (2) 作為半衰期為 25 分的 Se^{88} 的較高能態, 對半衰期為 67 秒的 Se 加以識別, 通過 β -發射使半衰期為 67 秒的 Se 衰變至半衰期為 2.4 小時的 Br^{82} , (3) 作為 Se^{77} 的一種同質異能態, 對半衰期為 17 秒的 Se 加以識別。著者並以下例說明了快速化學離析法: (1) 短壽命 Br 与 I 的離析, (2) 放射性 Kr 与 Xe 的氣流在金屬絲上使衰變產物進行靜電沉降, 从而可能計出氣體的半衰期, (3) 用 AgBr (AgI) 的定期沉淀以測定鹵素的半衰期和它們的衰變產物。文內討論了沉淀的“凝固時間”與在洗滌過程中的濾紙對放射性保留的影響, 文內給出了 15 篇參考文獻。

(吳賽文譯 仇鉄僑校)

0048

核磁矩與在原子核中中子及質子態之間的相似性 (Nuclear magnetic moments and similarity between neutron and proton states in the nucleus)-Schawlow A. L., Townes C.H.; The Physical Review, 1951, 82, 268—9 (英文) Chemical Abstracts, 45, 5514

著者在本文內表列了奇數質子核的自旋值與磁矩值, 這些奇數質子核為: Na^{23} , P^{31} , K^{39} , K^{41} , V^{51} , Mn^{55} , Cu^{63} , Cu^{65} , Ga^{71} , As^{75} , Nb^{93} 与 Sb^{121} 。從所獲數據中, 著者預計了相應奇數中子核的核磁矩值與若干自旋值, 這些奇數中子核為: Ne^{21} , Si^{29} , S^{35} , Ca^{43} , Ti^{47} , Ti^{49} , Cr^{53} , Fe^{57} , Ni^{61} , Ge^{73} 与 Zr^{91}

(吳賽文譯 仇鉄僑校)

0049

As^{74} 的衰變過程 (Disintegration of arsen-

i^{74}) -Johansson Stig, Canchois Yvette, Siegbahn Kai; The Physical Review, 1951, 82, 275 (英文) Chemical Abstracts, 45, 5529

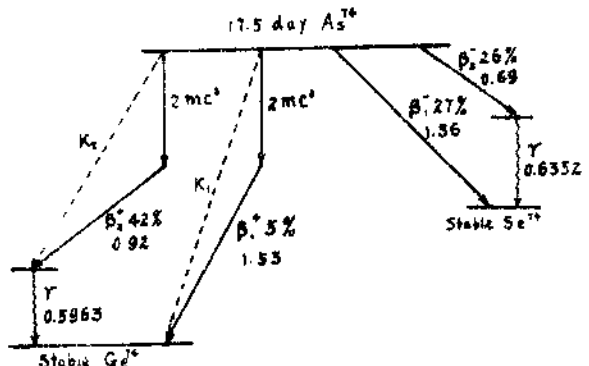


圖 1

著者檢查了來自 17.5 日半衰期的 As^{74} 的輻射, 提出了如上的蛻變圖:

(能量單位為兆電子伏, 百分數中未包括 K-1 分支) (吳賽文譯 仇鉄僑校)

0050

熱中子俘獲截面 (Thermal-neutron capture cross sections)-Pomerance H.; The Physical Review, 1951, 83, 641—5 (英文) Chemical Abstracts, 45, 8905

著者在本文內報告了熱中子截面 (單位為靶恩), Li , 67; B , 730; N , 1.86; Na , 0.47; Mg , 0.06; Al , 0.22; Si , 0.10; P , 0.15; S , 0.47; Cl , 32.7; K , 2.05; Ca , 0.41; Se , 11.8; Ti , 5.8; V , 4.7; Cr , 2.83; Mn , 12.8; Fe , 2.39; Co , 34.2; Ni , 4.5; Cu , 3.57; Zn , 1.00; Ga , 2.77; Ge , 2.2; As , 4.14; Se , 12.1; Br , 6.4; Rb , 0.70; Sr , 1.16; Y , 1.38; Zr , 0.18; Nb , 1.06; Mo , 2.40; Ru , 2.46; Rh , 150; Pd , 6.6; Ag , 60; Cd , 3500; In , 191; Sn , 0.58; Sb , 5.3; Te , 4.5; I , 6.1; Cs , 29.0; Ba , 1.05; La , 8.8; Ce , 0.80; Pr , 11.2; Nd , 44; Sm , 10600; Eu , 4200; Gd , 35000; Tb , 44; Dy , 890; Ho , 64; Er , 166; Tm , 118; Yb , 36; Lu , 108; Hf , 102; Ta , 21.3; W , 17.7; Re , 84; Os , 14.7; Ir , 440; Pt , 8.1; Au , 95; Hg , 341; Tl , 3.27; Pb , 0.19。 (吳賽文譯 仇鉄僑校)

0051

主要是在 82 個中子範圍內的原子質量的若干新值 (Some new values of atomic masses, princ-

ipally in the region of 82 neutrons) -Duckworth Henry E., Kegley Gort L., Olson John M., Stanford George S.; The Physical Review, 1951, 83, 1114—7 (英文) Chemical Abstracts, 45.10 075

著者对若干新的质量进行了比較，从中导出原子质量的数值：Cu⁶³, 62.94862±0.00020; Zr⁶⁴, 63.94852±0.00019; Ni⁶⁴, 63.94733±0.00019; Cu⁶⁵, 64.94749±0.00021; Ge⁷⁰, 69.9447±0.0006; Ge⁷², 71.9430±0.0006; Ge⁷⁴, 73.9426±0.0009; Se⁷⁴, 73.9439±0.0009; As⁷⁵, 74.9432±0.0010; Ge⁷⁶, 75.9433±0.0009; Mo⁹⁴, 93.9343±0.0008; Te¹²⁶, 125.9427±0.0010; Te¹²⁸, 127.9471±0.0010; Te¹³⁰, 129.9467±0.0009; Ba¹³⁶, 135.9488±0.0010; Ba¹³⁷, 136.9502±0.0010; Ba¹³⁸, 137.9498±0.0009; Ce¹⁴⁰, 139.9489±0.0009; Pr¹⁴¹, 140.9514±0.0008; Ce¹⁴², 141.937±0.0009; Nd¹⁴⁴, 143.9560±0.0008; Nd¹⁵⁰, 149.9687±0.0008; Hf¹⁷⁶, 175.9923±0.0011; Hf¹⁷⁸, 177.9936±0.0013; Hf¹⁸⁰, 180.0029±0.0007; Ta¹⁸¹, 181.0031±0.0013; W¹⁸⁴, 182.0033±0.0011; W¹⁸³, 183.0059±0.0013; W¹⁸⁴, 184.0052±0.0011。在这里反映出存在着与82个中子层的滿充，并有可能存在着与58个质子层的滿充有关連的一定的质量效应。通过試驗看到这样的事实即在₂₈Ni⁶²处存在着欵集率曲線的最少值。著者利用最近的微波数据从以质譜测定法測得的Ge⁷⁰与Ge⁷²质量里获得了Ge⁷⁴与Ge⁷⁶的质量。

(吳賽文譯 仇鐵僑校)

0052

以堆中子对 Th²³² 裂变的放射化学的研究
(Radiochemical Studies on the fission of thorium²³² with pile neutrons)-Turkevich A., Niday J. B.; The Physical Review, 1951, 84, 52—60; 參閱同杂志, 80, 136 (英文) Chemical Abstracts, 46, 360

著者引用放射化学法測定了以具有有效平均能量为2.6兆电子伏的堆中子使Th裂变的产額(%)；49小时Zn⁷²→14.3小时Ge⁷², 0.00033±0.00008%; 5小时Ga⁷³, 0.00045±0.00022, 12小时Ge⁷⁷→38小时As⁷⁷, 0.009±0.002; 总38小时As, 0.020±0.007; 2.4小时Br⁸³, 1.9±0.45; 33小时Sr⁸⁹, 6.7±0.7; 25年Sr⁹⁰→65小时Y⁹⁰, 6.1±1.2; 9.7小时Sr⁹¹, 6.4±0.7; 17小时

Zr⁹⁷, 5.4±0.8; 67小时Mo⁹⁹, 2.9±0.3; 42日Ru¹⁰⁶, 0.20±0.07; 36.5小时Rh¹⁰⁶, 0.07±0.02; 1年Ru¹⁰⁶→30秒Rh¹⁰⁶, 0.058±0.006; 13.4小时Pd¹⁰⁹, 0.053±0.010; 7.5日Ag¹¹¹, 0.052±0.010; 21小时Pd¹¹²→3.2小时Ag¹¹², 0.065±0.010; 2.33日Cd¹¹⁵→4.53小时In^{115m}, 0.072±0.014; 43日Cd^{115m}, 0.003±0.0015; 总115鍾, 0.075±0.015; 8.0日I¹³¹, 1.2±0.6; 77小时Te¹¹²→2.4小时I¹³², 2.4±0.7; 13.7日Cs¹³⁶, 0.0017±0.0009或-0.0017; 33年Cs¹³⁷, 6.6±1.0; 12.8日Ba¹⁴⁰→140小时La¹⁴⁰, 6.2±2.0; 28日Ce¹⁴¹, 9.0±3.0; 275日Ce¹⁴⁴→17分Pr¹⁴⁴, 7.1±1.0。著者应用上述数据构成Th²³²的一个完整的裂变产額曲綫。将所得曲綫与其它可裂变的原子核的产額曲綫进行了比較。該裂变类似于U²³⁵, U²³³, Pu²³⁹与U²³⁸的中子裂变，呈高度不对称。高峰产額常数为对称产物的产額的110倍。

(吳賽文譯 仇鐵僑校)

0053

來自 Ge⁶⁹ 的輻射 (Radiations from germanium⁶⁹)-Huddleston Charles M., Smith Alan B.; The Physical Review, 1951, 84, 289—91 (英文) Chemical Abstracts, 46, 1883

著者藉磁透鏡摄譜仪研究了來自Ge⁶⁹ (39.6小时)的輻射。发現在輻射中有0.090, 0.388, 0.576, 0.879, 1.12, 1.340, 1.610兆电子伏的γ能量。正电子譜是复杂的，可被分为1.215兆电子伏(88%), 0.610兆电子伏(10%)与0.220兆电子伏(2%)的三組不同最大能量。著者进行了符合的研究。并提出了軌行能級範圖。

(吳賽文譯 仇鐵僑校)

0054

銅的高能量裂变產物 (High-energy spallation products of copper)-Batzel Roger E., Miller Daniel R., Seaborg Glenn T.; The Physical Review, 1951, 84, 671—83 (英文) Chemical Abstracts, 46, 2926

著者研究了以加速至能量为百兆电子伏范围的帶电粒子來对元素銅进行照射时所感生的核反应，并且研究了包括从靶核区域至以40或更多些的核子将靶的原子核移开的区域内的反應產物(Ge^{65,67,68,69}, Ga^{64,66,67,68}, Zn^{63,65,67}, Cu^{60-61,62,64}, Ni^{57,65}, Co^{56,58,61}, Fe^{52,53,55,59}, Mn^{51,52,54,56},

$\text{Cr}^{49,51}$, V^{48} , Ti^{45} , $\text{Sc}^{44m,46,47,48}$, $\text{Ga}^{45,47}$, $\text{Cl}^{34,38,39}$, P^{32} , $\text{Na}^{22,24}$ 。

譯者註：本文系節譯。

(吳賽文譯 仇鈦鶴校)

0055

以快中子轟擊使鎵內空穴獲俘產生的證據
(Evidence for the production of hole traps in germanium by fast-neutron bombardment) - Cleland J. W., Crawford J. H., Jr.; The Physical Review, 1951, 84, 861-2; 參閱 Chemical Abstracts, 43, 8858; 45, 8874 (英文) Chemical Abstracts, 46, 3414

James 与 Lehman 二氏对在滿帶的中部以下所引入的受主与空穴俘获(施主)两者的数目相等的情况作了研究 (The Physical Review, 1951, 81, 321)。他們所設計的模型通过对 Ge 的實驗被定性地证实了。

(吳賽文譯 仇鈦鶴校)

0056

Ge^{77} 內同質異能的躍遷 (Isomeric transition in germanium⁷⁷) - Mitchell Allan G.G., Smith Alan B.; The Physical Review, 1952, 85, 153-4 (英文) Chemical Abstracts, 46, 4386

以半衰期为12小时与59秒的 β -跃迁使 Ge^{77} 衰变为 As^{77} 。半衰期为12小时的 β -群的最大能量为2.2兆电子伏。它导致 As^{77} 处于高于基态0.263兆电子伏的一种激发态。 γ -能量为 380 ± 20 千电子伏。 Ge^{77} 的基态具有 $G^{7/2}$ 构型，其同质异能态 $P^{1/2}$ 处于較 Ge^{77} 基态高380千电子伏。

(吳賽文譯 仇鈦鶴校)

0057

來自 Zn^{64} 与 Fe^{54} 的不同的光致核反应的相对几率 (Relative probabilities of diverse photonuclear reactions from zinc⁶⁴ and iron⁵⁴) - Sugane Ryokichi; The Physical Review, 1952, 85, 926-7; 參閱 Chemical Abstracts, 46, 1886 (英文) Chemical Abstracts, 46, 6005

著者引用具有最大能量为67兆电子伏的 γ -射线对在 Zn^{64} , Fe^{54} , Ge^{70} 和 Ni^{58} 上的 γ, n , γ, p_n , 和 $\gamma, 2pn$ 反应与在 Al^{27} 上的 $\gamma, 2p$ 和 $\gamma, 2pn$ 反应，作为量子能量的函数测定了相对截面。在 Zn^{64} 与 Fe^{54} 情况下，在近于20兆电子伏时 γ, n 截面出现一个明显的最大值，这是由于相竞反应以及由于因 γ -吸收在总截面中的减小而引起的。于15-67兆电子

伏的情况下，在 Mo^{92} 上的 γ, n 反应其所生成的70秒 Mo^{91} 与16分 Mo^{91} 的比为一常数

(吳賽文譯 仇鈦鶴校)

0058

As^{73} 的衰变过程 (Disintegration of arsenic⁷³)

Johansson Stig; Arkiv för Fysik, 1952, 4, 273-85 (瑞典文) Chemical Abstracts, 46, 6504

著者以6兆电子伏氘核轰击 $\text{Cu}-\text{Ge}$ 靶产生 As^{73} 。它通过 K^- 俘获进行衰变。产物 Ge^{73} 发射出2支强的轉換的 γ -射线，其能量分别为13.5与53.9千电子伏。后者看来为磁四极辐射而前者看来是电四极辐射。 Ge^{73} 中的第一个能級是亚稳定的。

(吳賽文譯 仇鈦鶴校)

0059

鎵的電子轟擊 (Electron bombardment of germanium) - Klontz E. E., Lark-Horovitz K.; The Physical Review, 1951, 82, 763 (英文) Chemical Abstracts, 46, 6927

本文系在美国物理学会上宣讀的一篇論文，此处用摘要形式发表。

(吳賽文譯 仇鈦鶴校)

0060

以氚核轟擊碳, 氧, 鋁, 鐵, 鎶與銻 (Triton bombardment of carbon, oxygen, aluminum, iron, germanium and bismuth) - Pool M. L., Kamdu D. N., Weiler P. E., Donaven T. W.; The Physical Review, 1951, 82, 305 (英文) Chemical Abstracts, 46, 6949

本文系在美国物理学会上宣讀的一篇論文，此处用摘要形式发表。

(吳賽文譯 仇鈦鶴校)

0061

以慢中子所致的几种元素的有效俘獲截面 (局部調制的方法) (Effective capture sections of several elements for slow neutrons "method of local modulation") - Aillaud J., Breton D., Ertaud A., Baievski V.; Journal de Physique et le radium, 1952, 13, 171 (法文) Chemical Abstracts, 46, 7889

著者通过試驗證明 Li , Co , Ge , Nd 及 Hg 的有效中子俘獲截面分别为 66.8 ± 3.4 , 35.4 ± 1 , 2.23 ± 0.2 , 43.2 ± 1 与 354 靶恩。引用 Li_2CO_3 , Nd_2O_3 与 HgO 分別作为 Li , Nd 与 Hg 源。

(吳賽文譯 仇鈦鶴校)